

[Abbildungen = Images]

Objekttyp: **Appendix**

Zeitschrift: **Bericht der Eidgenössischen Kommission zur Überwachung der Radioaktivität**

Band (Jahr): **11 (1967)**

PDF erstellt am: **23.07.2024**

Nutzungsbedingungen

Die ETH-Bibliothek ist Anbieterin der digitalisierten Zeitschriften. Sie besitzt keine Urheberrechte an den Inhalten der Zeitschriften. Die Rechte liegen in der Regel bei den Herausgebern.

Die auf der Plattform e-periodica veröffentlichten Dokumente stehen für nicht-kommerzielle Zwecke in Lehre und Forschung sowie für die private Nutzung frei zur Verfügung. Einzelne Dateien oder Ausdrucke aus diesem Angebot können zusammen mit diesen Nutzungsbedingungen und den korrekten Herkunftsbezeichnungen weitergegeben werden.

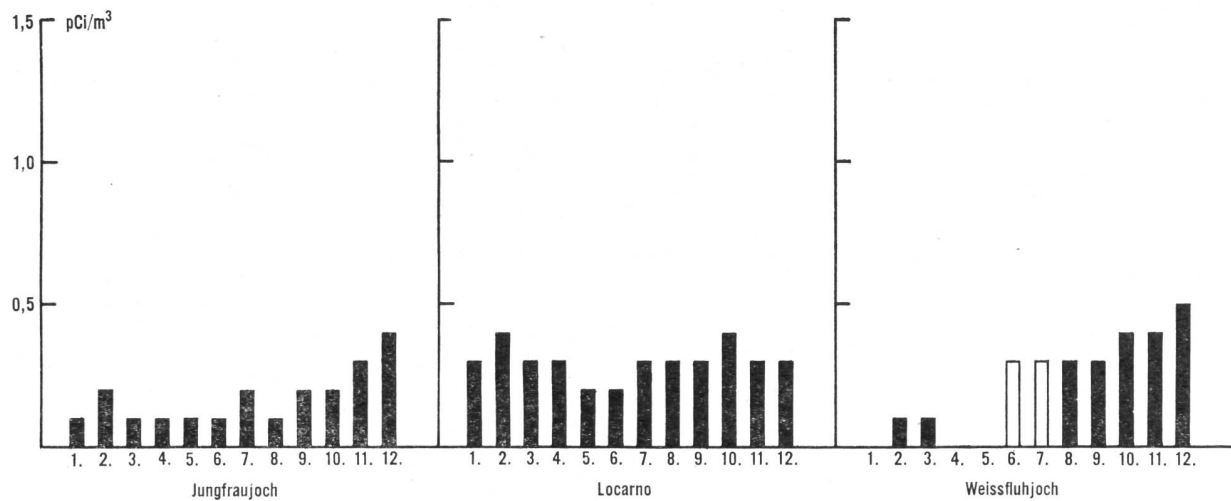
Das Veröffentlichen von Bildern in Print- und Online-Publikationen ist nur mit vorheriger Genehmigung der Rechteinhaber erlaubt. Die systematische Speicherung von Teilen des elektronischen Angebots auf anderen Servern bedarf ebenfalls des schriftlichen Einverständnisses der Rechteinhaber.

Haftungsausschluss

Alle Angaben erfolgen ohne Gewähr für Vollständigkeit oder Richtigkeit. Es wird keine Haftung übernommen für Schäden durch die Verwendung von Informationen aus diesem Online-Angebot oder durch das Fehlen von Informationen. Dies gilt auch für Inhalte Dritter, die über dieses Angebot zugänglich sind.

Fig. 1. Monatliche Mittelwerte der spezifischen Gesamtbetaaktivität der Luft, bezogen auf 760 mm Hg und 0° C, für die Messstellen Jungfrauoch, Locarno u. Weissfluhjoch.

Fig. 1. Moyennes mensuelles de l'activité spécifique bêta totale de l'air, à 760 mm Hg et 0° C, mesurées aux stations de Jungfrauoch, Locarno et Weissfluhjoch.



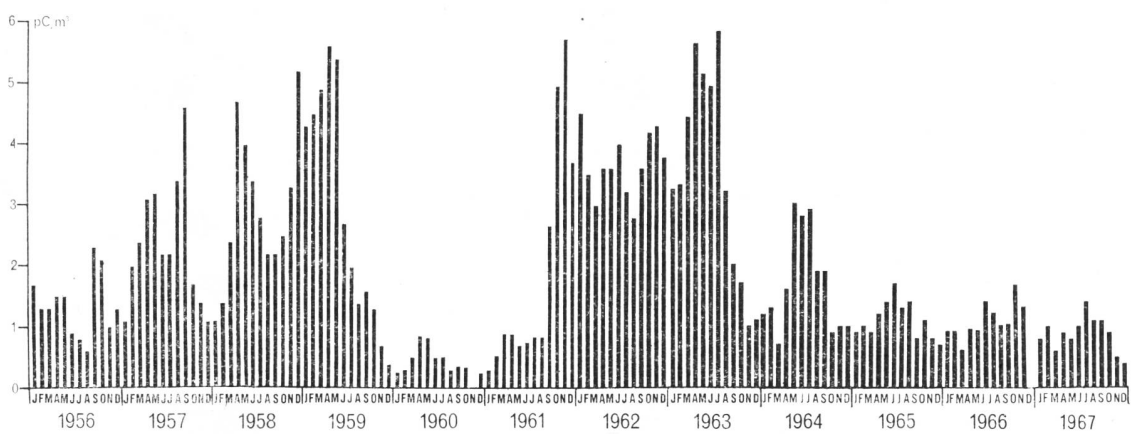


Fig. 2. Monatliche Mittelwerte der spezifischen Gesamtbetaktivität der Luft, bezogen auf 760 mm Hg und 0° C, für die Messstelle Payerne von 1956 bis 1967.
 Fig. 2. Moyennes mensuelles de l'activité spécifique bêta totale de l'air à 760 mm Hg et 0° C, mesurées à la station de Payerne de 1956 à 1967.

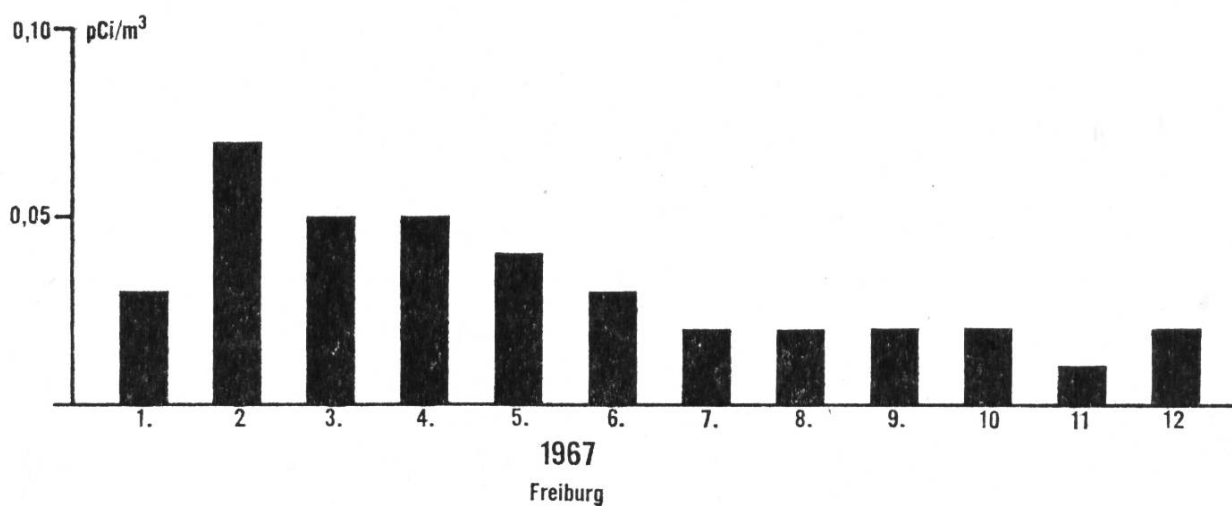
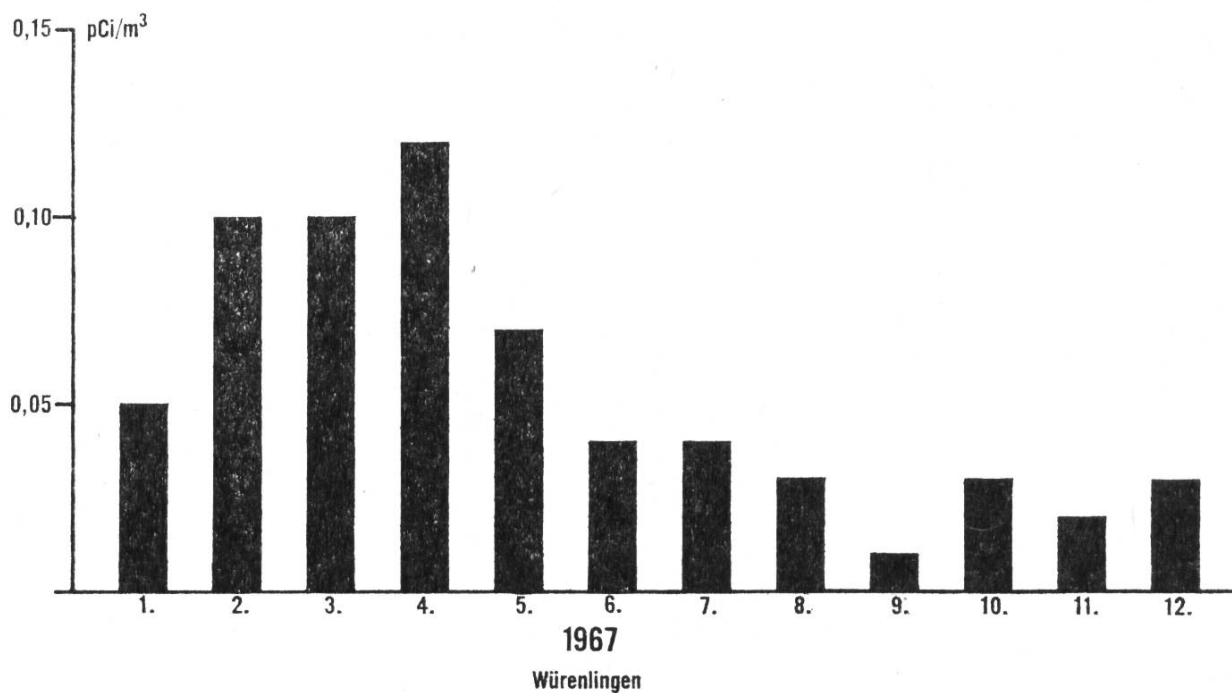


Fig. 3. Monatliche Mittelwerte der spezifischen Gesamtbetaaktivität der Luft, bezogen auf 760 mm Hg und 0° C, für die Messstellen Freiburg und Würenlingen.

Fig. 3. Moyennes mensuelles de l'activité spécifique bêta totale de l'air, à 760 mm Hg et 0° C, mesurées aux stations de Fribourg et Würenlingen.

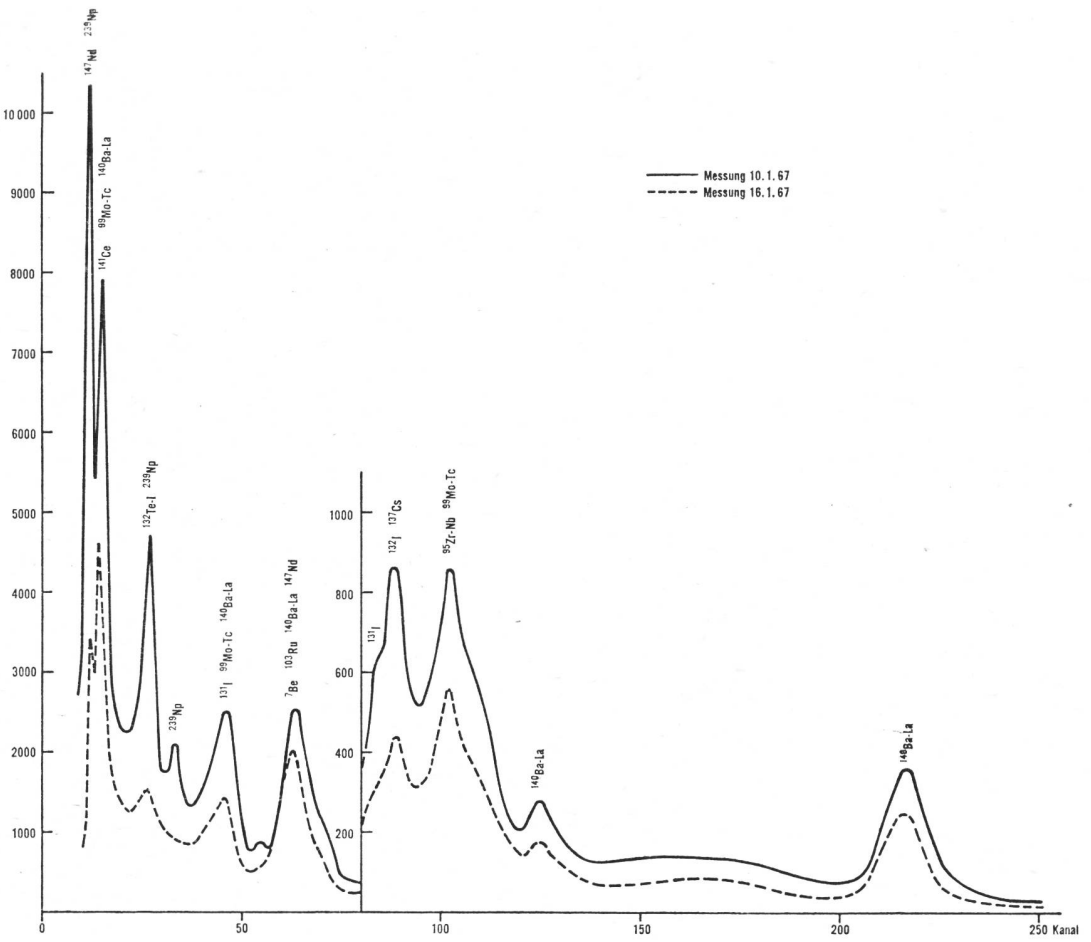


Fig. 4. Gammaspektrum eines Luftfilters aus 8400 m Höhe (obere Troposphäre), gesammelt am 9.1.67, gemessen am 10. und 16.1.67.

Fig. 4. Spectre gamma d'un filtre d'air, collecté à 8400 m d'altitude (troposphère supérieure) le 9.1.67, mesuré le 10 et le 16 janvier 1967.

Fig. 5. Gammaspektrum eines Luftfilters aus 13 000 m Höhe (untere Stratosphäre), gesammelt am 13.7.67, gemessen am 14.7.67.

Fig. 5. Spectre gamma d'un filtre d'air, collecté à 13 000 m d'altitude (stratosphère inférieure) le 13.7.67, mesuré le 14.7.67.

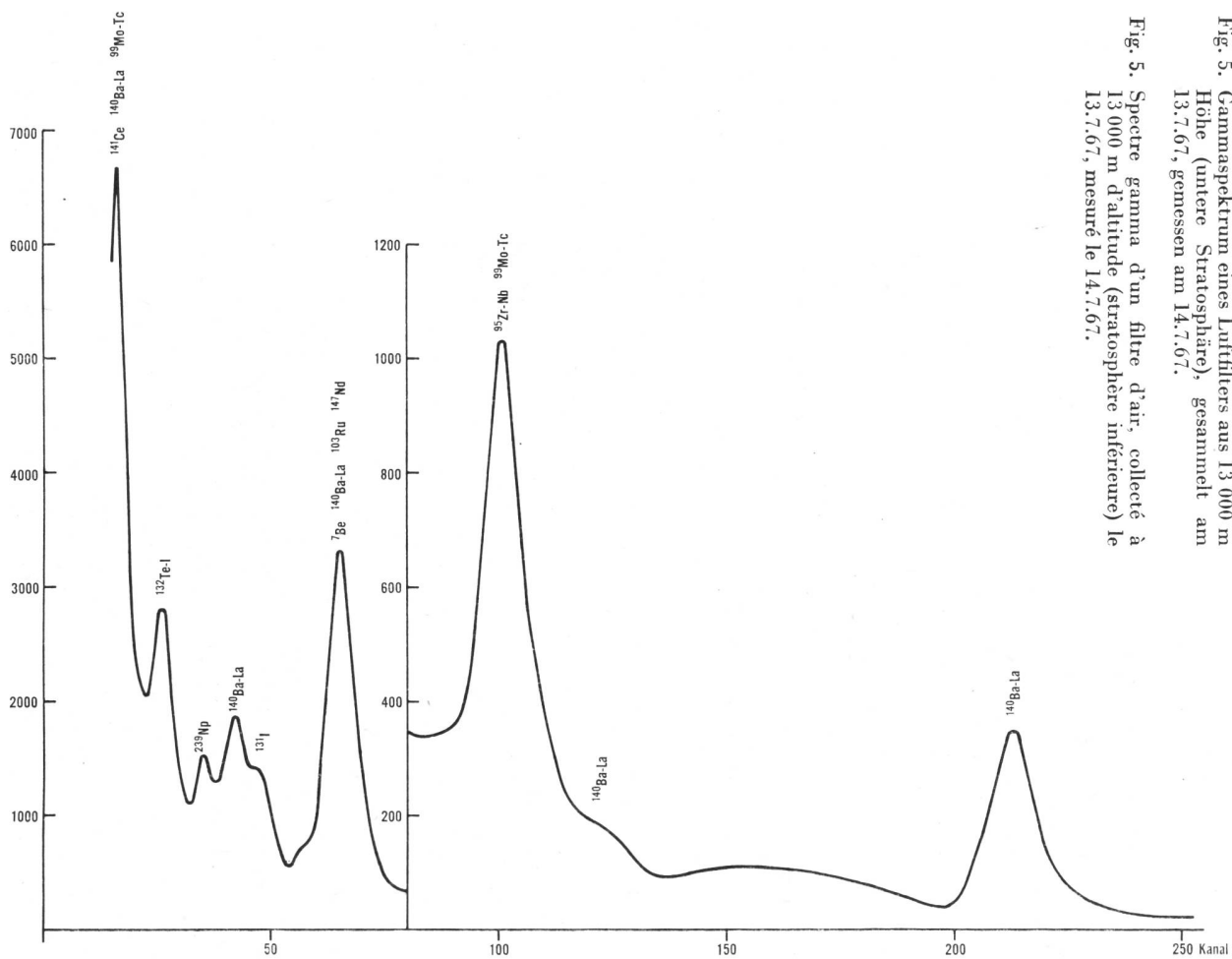
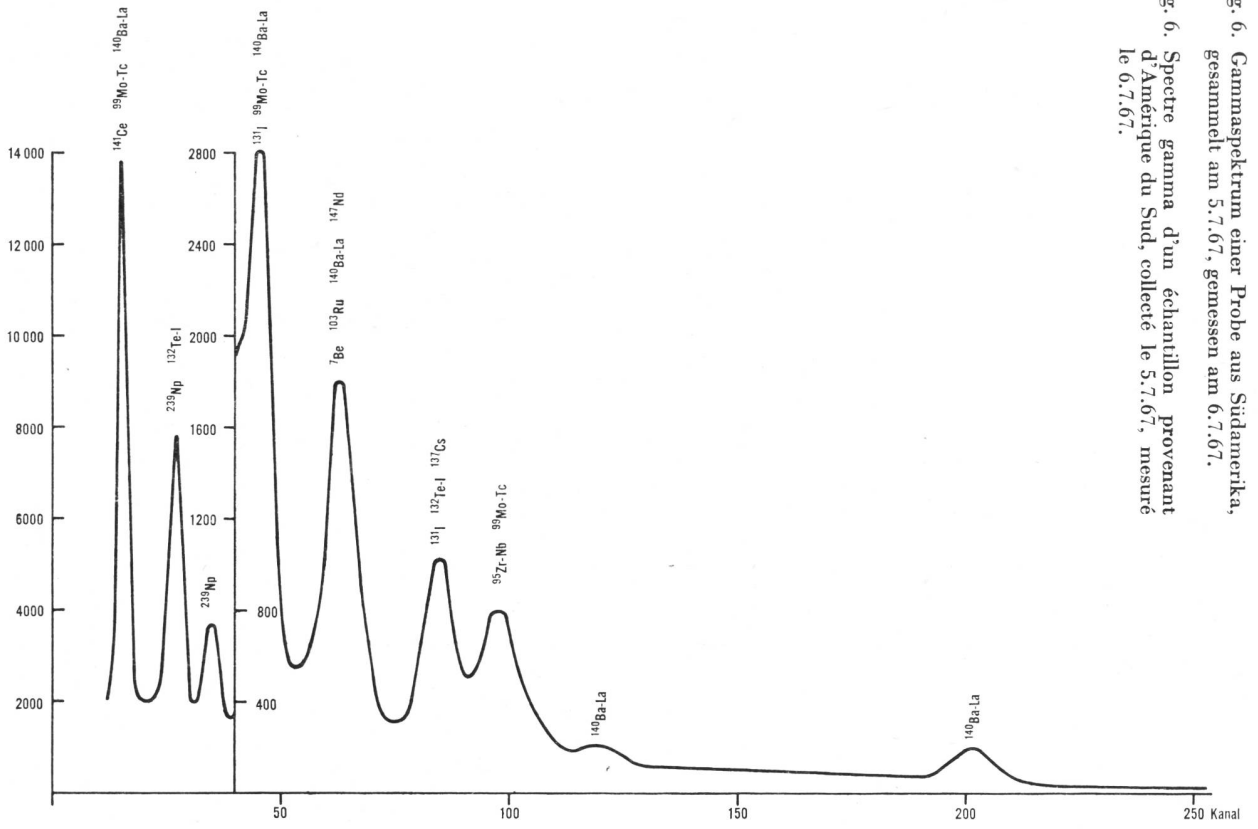


Fig. 6. Gammasppektrum einer Probe aus Südamerika, gesammelt am 5.7.67, gemessen am 6.7.67.

Fig. 6. Spectre gamma d'un échantillon provenant d'Amérique du Sud, collecté le 5.7.67, mesuré le 6.7.67.



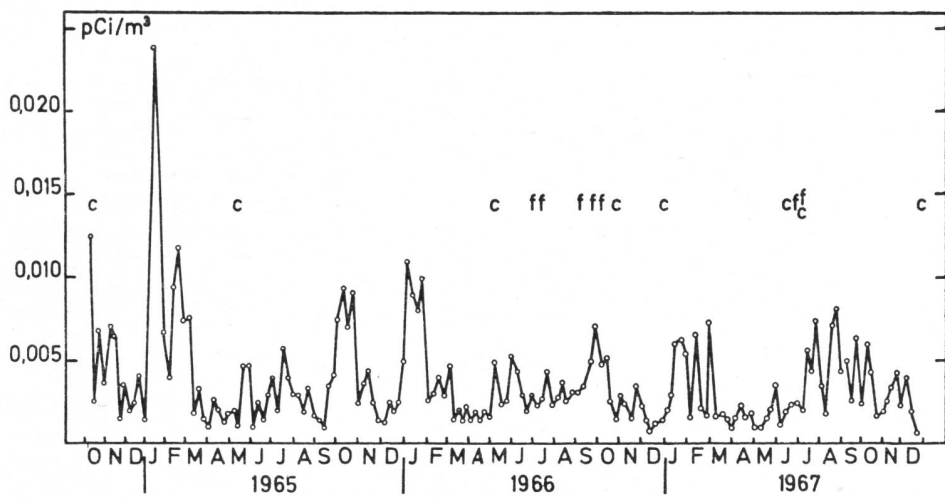


Fig. 7. Wöchentliche Mittelwerte der spezifischen Gesamtalpha-Aktivität der Luft, Messstelle: Stein-Säckingen: c = chinesische, f = französische Atomexplosionen.

Fig. 7. Valeurs moyennes hebdomadaires de l'activité alpha totale de l'air, mesurées à la station de Stein-Säckingen: c = bombes atomiques chinoises, f = bombes atomiques françaises.

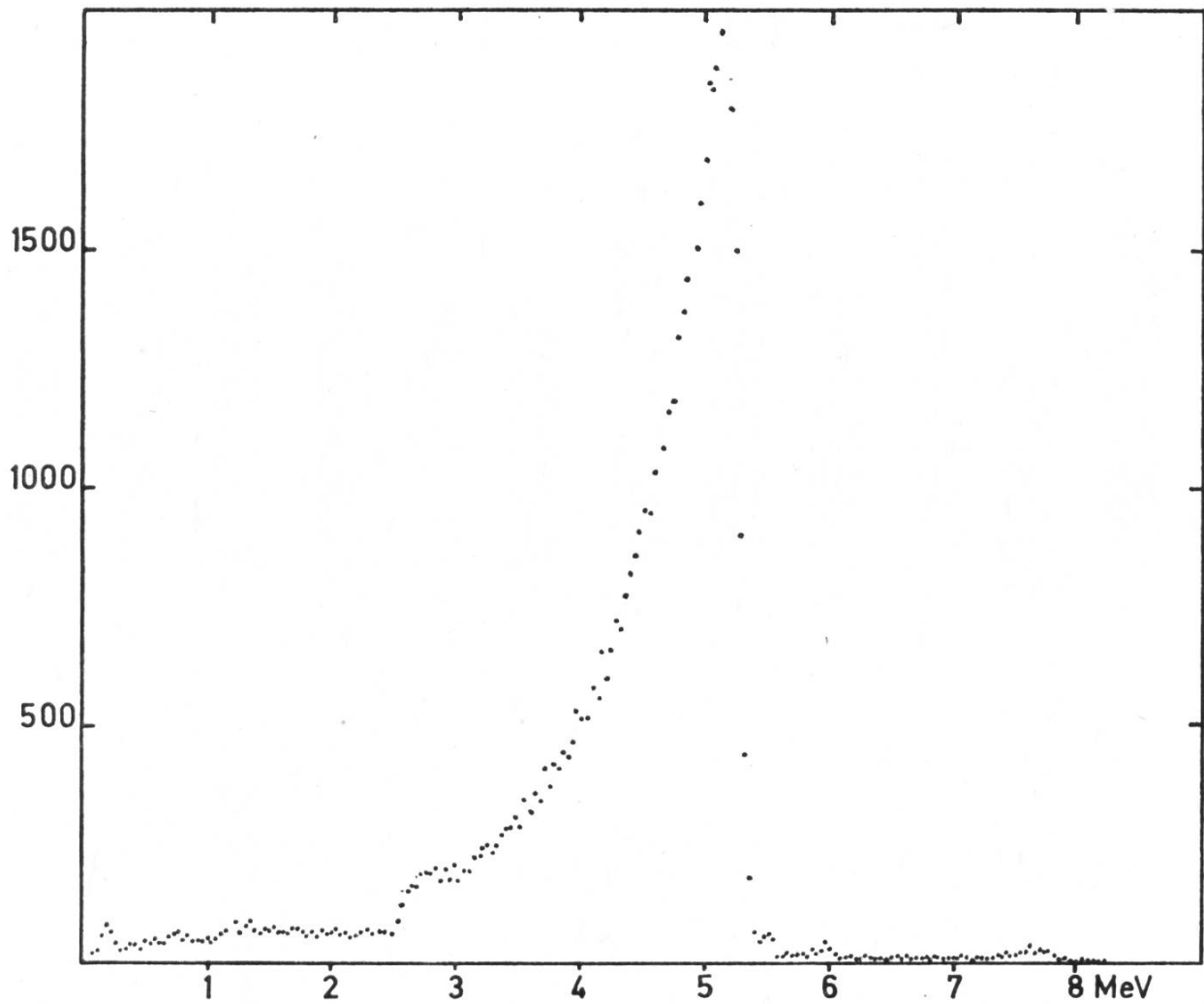
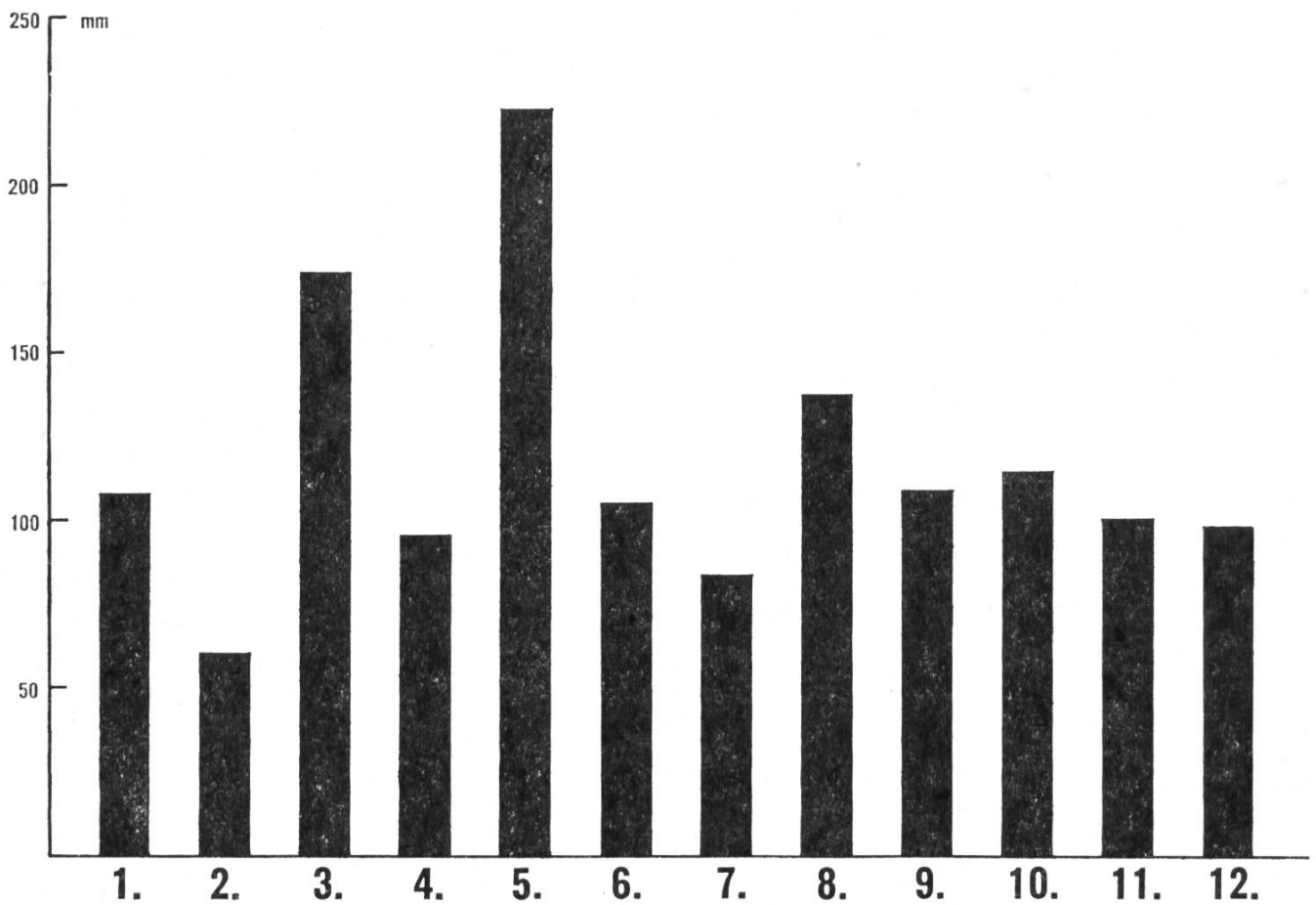
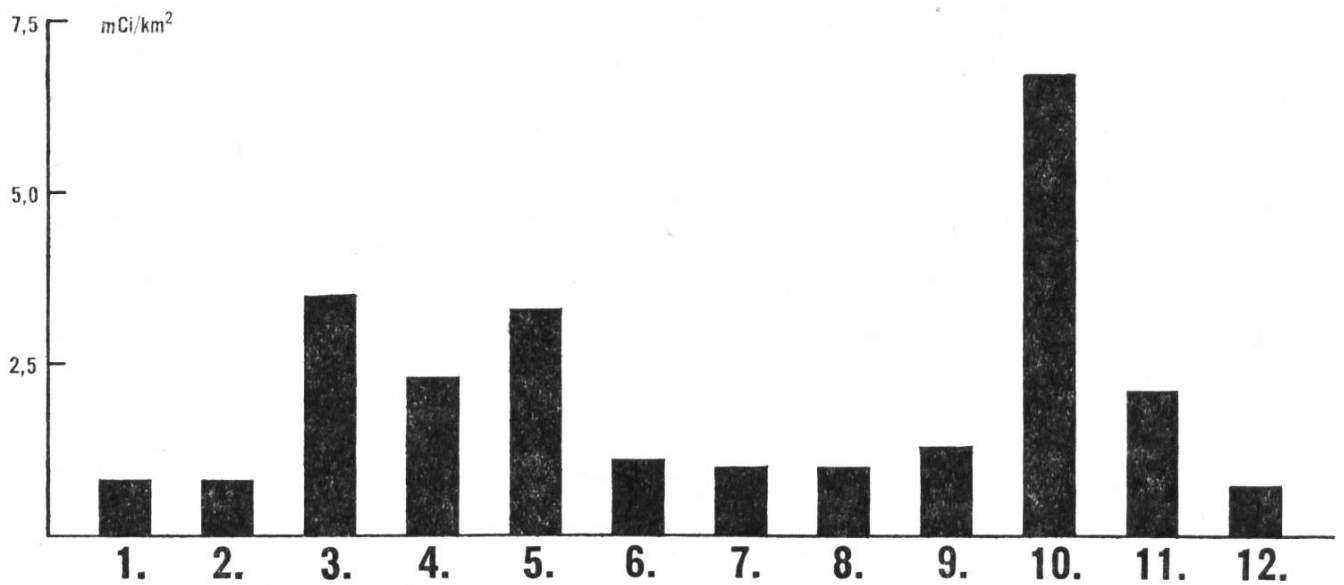


Fig. 8. Alpha-Spektrum einer Luftprobe von Stein-Säckingen (3.3.67–10.3.67). Messdauer: 24 h. Maximum bei 5,15 MeV entspricht der Alphastrahlung von Pu-239.

Fig. 8. Spectre alpha d'un échantillon d'air de Stein-Säckingen (3.3.–10.3.67). Durée de la mesure: 24 h. Pic à 5,15 MeV correspond à une radioactivité alpha due au Pu-239.



1967



1967

Fig. 9. Monatliche Niederschlagsmenge (oben) und monatliche, dem Erdboden durch Niederschlag zugeführte Gesamtbetaaktivität pro km² Bodenfläche (unten) für die Messstelle Valsainte.

Fig. 9. Quantité mensuelle des précipitations (en haut) et activité bêta totale accumulée mensuellement par km² au sol par les précipitations (en bas) pour la Station de la Valsainte.

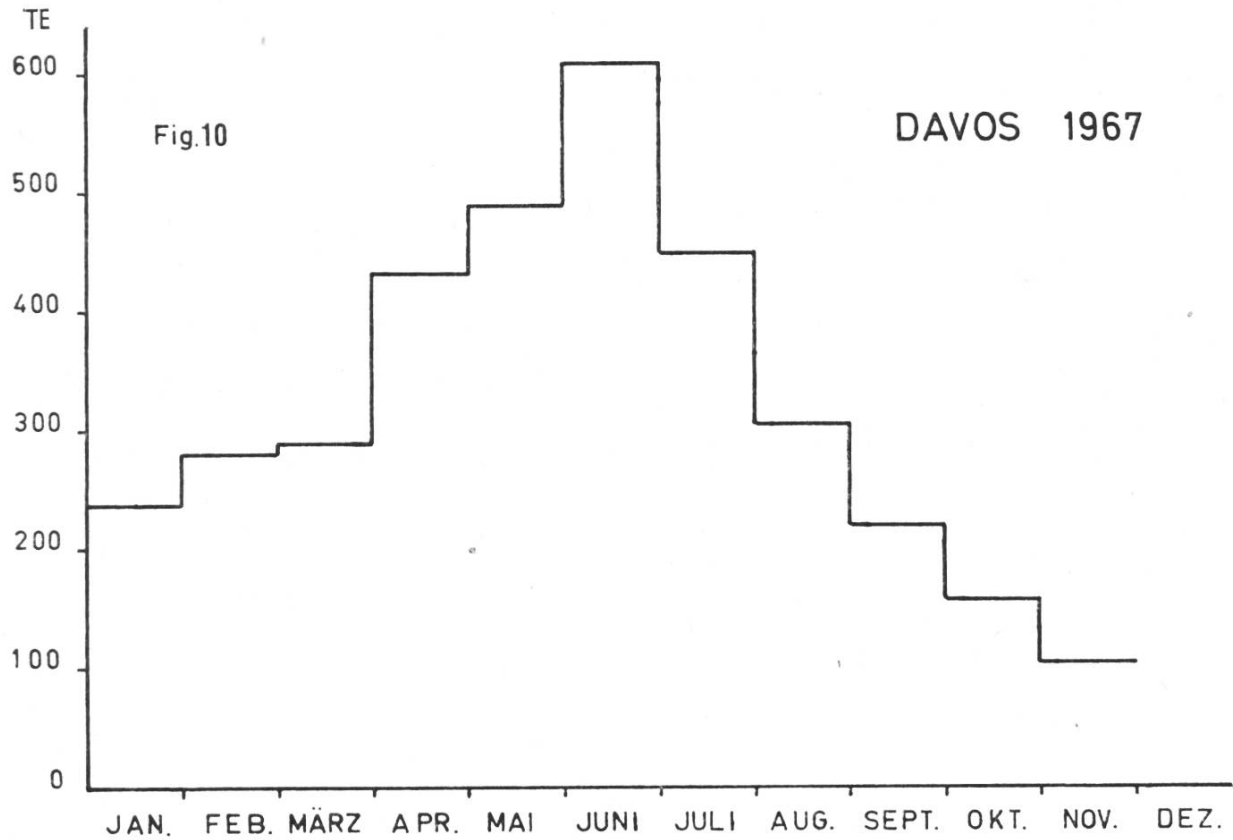


Fig. 10. Tritiumkonzentration von Regenproben aus Davos. (Einheit in TE = 1 Tritium – Einheit = 10^{-18} Tritium-Atome pro Wasserstoffatom, was 3,2 pCi/l Wasser entspricht.)

Fig. 10. Teneur en tritium d'échantillons d'eau de pluie de Davos. (Donnés en unités de tritium = 1 UT – 10^{-18} atome de tritium par atome d'hydrogène, soit 3,2 pCi par litre d'eau.)

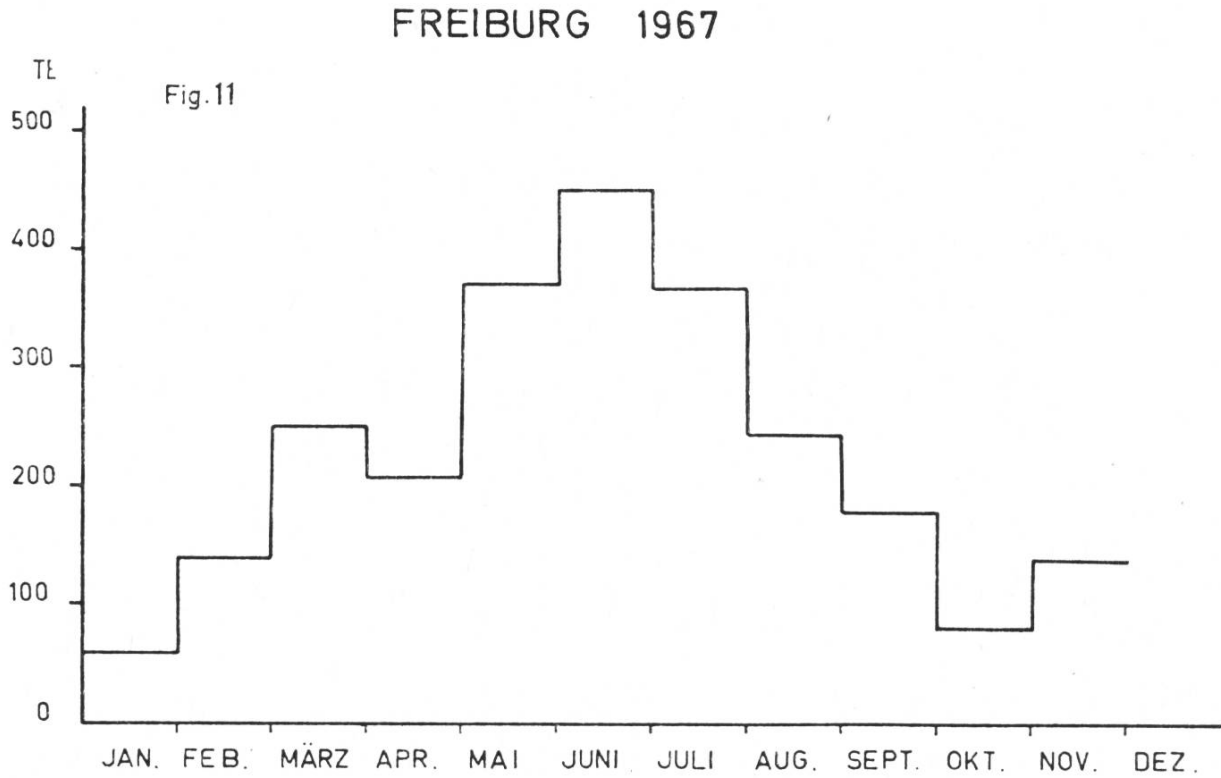


Fig. 11. Tritiumkonzentration von Regenproben aus Freiburg. (Einheit in TE = 1 Tritium-Einheit = 10^{-18} Tritium-Atom pro Wasserstoffatom, was 3,2 pCi/l-Wasser entspricht.)

Fig. 11. Teneur en tritium d'échantillons d'eau de pluie de Fribourg. (Donnés en unités de tritium = 1 UT = 10^{-18} atome de tritium par atome d'hydrogène, soit 3,2 pCi par litre d'eau.)

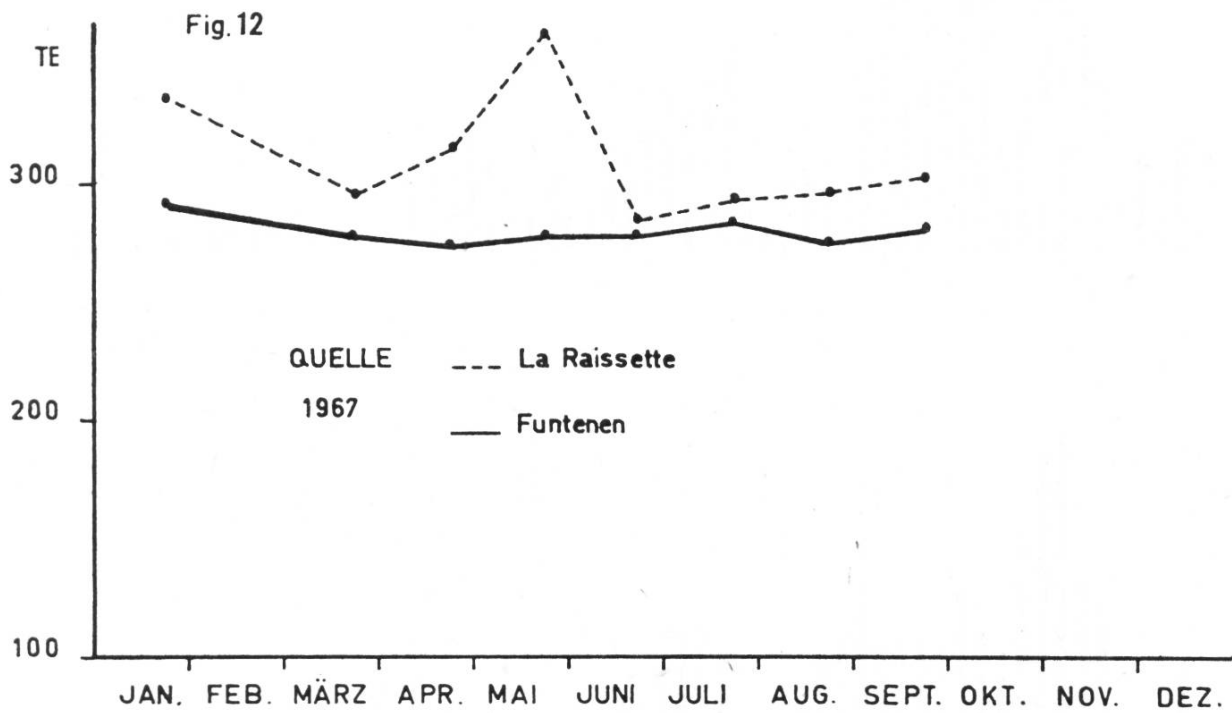


Fig. 12. Tritiumkonzentration von Quellwässern. (Einheit in TE.)

Fig. 12. Teneur en tritium d'eaux de soucre. (En unités de tritium.)

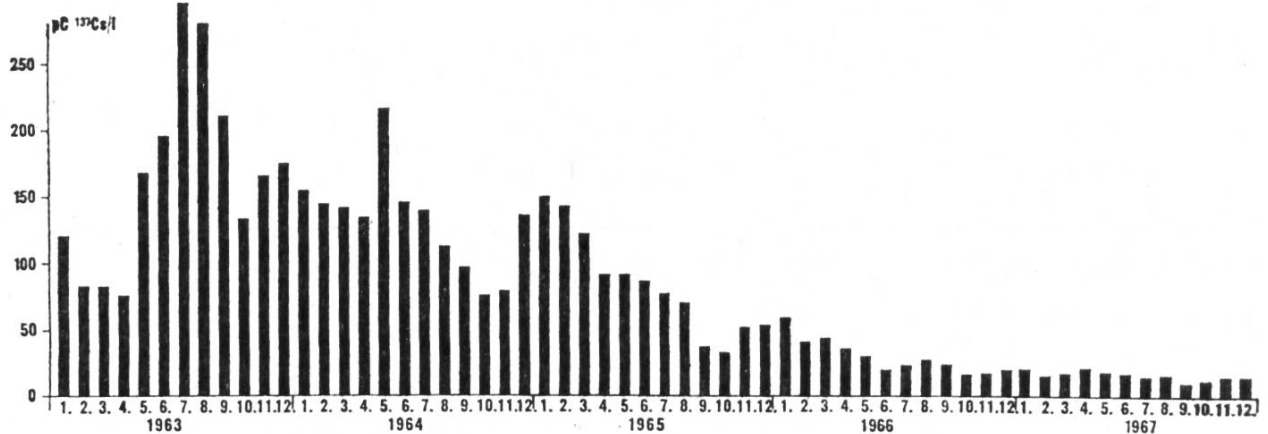
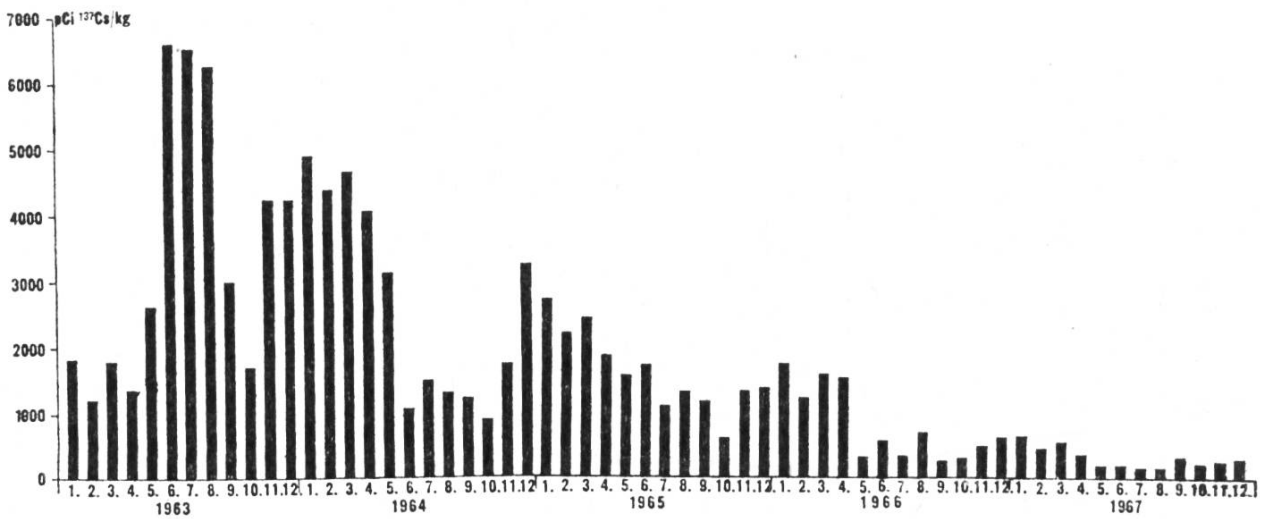


Fig. 13. Oben: Cs-137-Gehalt von Viehfutter (monatliche Probenahme), Ostschweiz 1963–1967.

Unten: Cs-137-Gehalt von Milch (monatliche Probenahme zwei Tage nach derjenigen des Futters), Ostschweiz 1963–1967.

Fig. 13. En haut: Teneur en Cs-137 du fourrage (prélèvement mensuel d'échantillons), Suisse orientale 1963–1967.

En bas: Teneur en Cs-137 du lait (prélèvement mensuel d'échantillons deux jours après celui du fourrage), Suisse orientale 1963–1967.

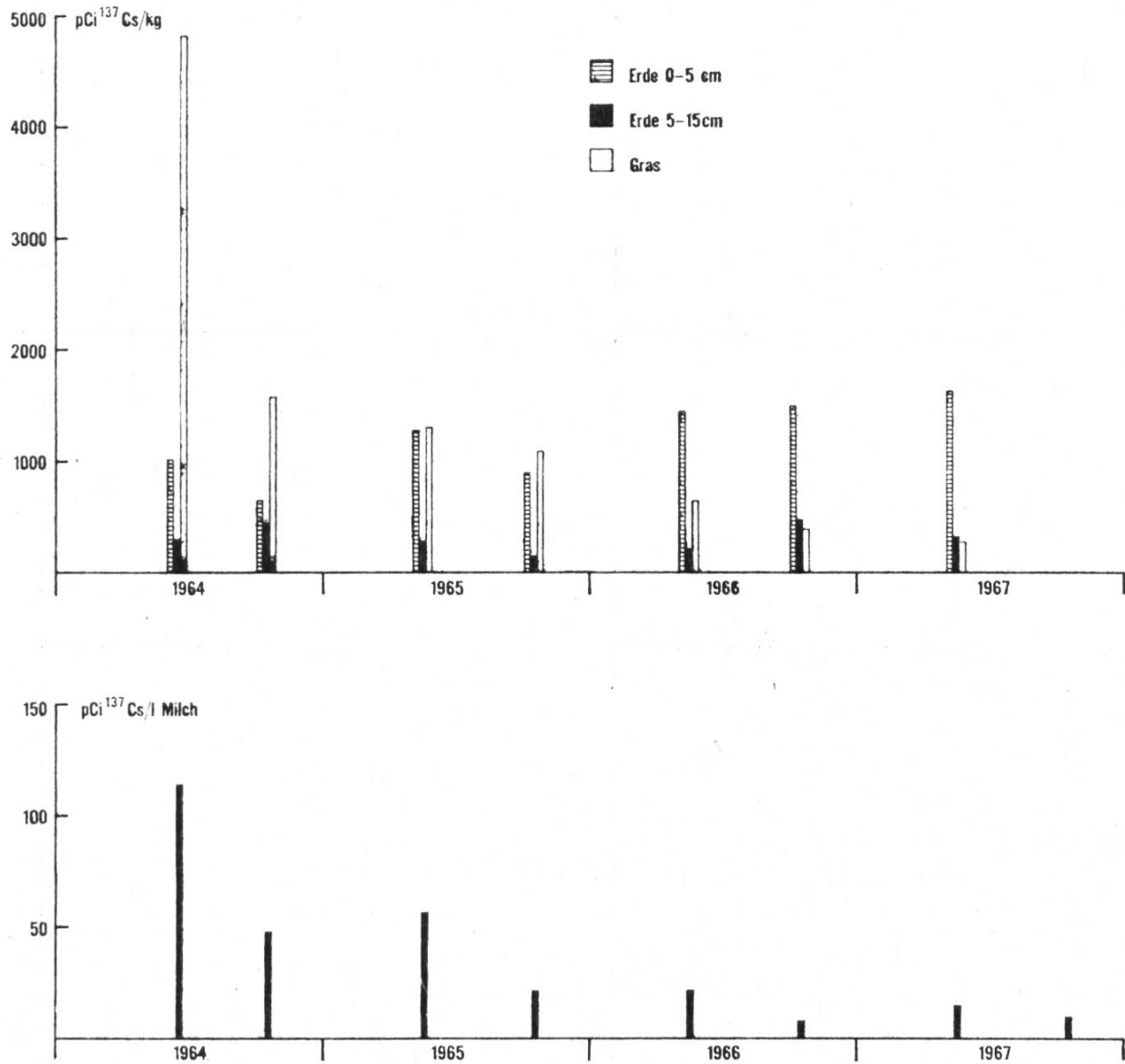


Fig. 14. Cs-137-Aktivität von Erdboden, Gras und Milch, Arenenberg/TG, 1964–1967.

Fig. 14. Activité en Cs-137 du sol, de l'herbe et du lait à Arenenberg/TG, 1964–1967.

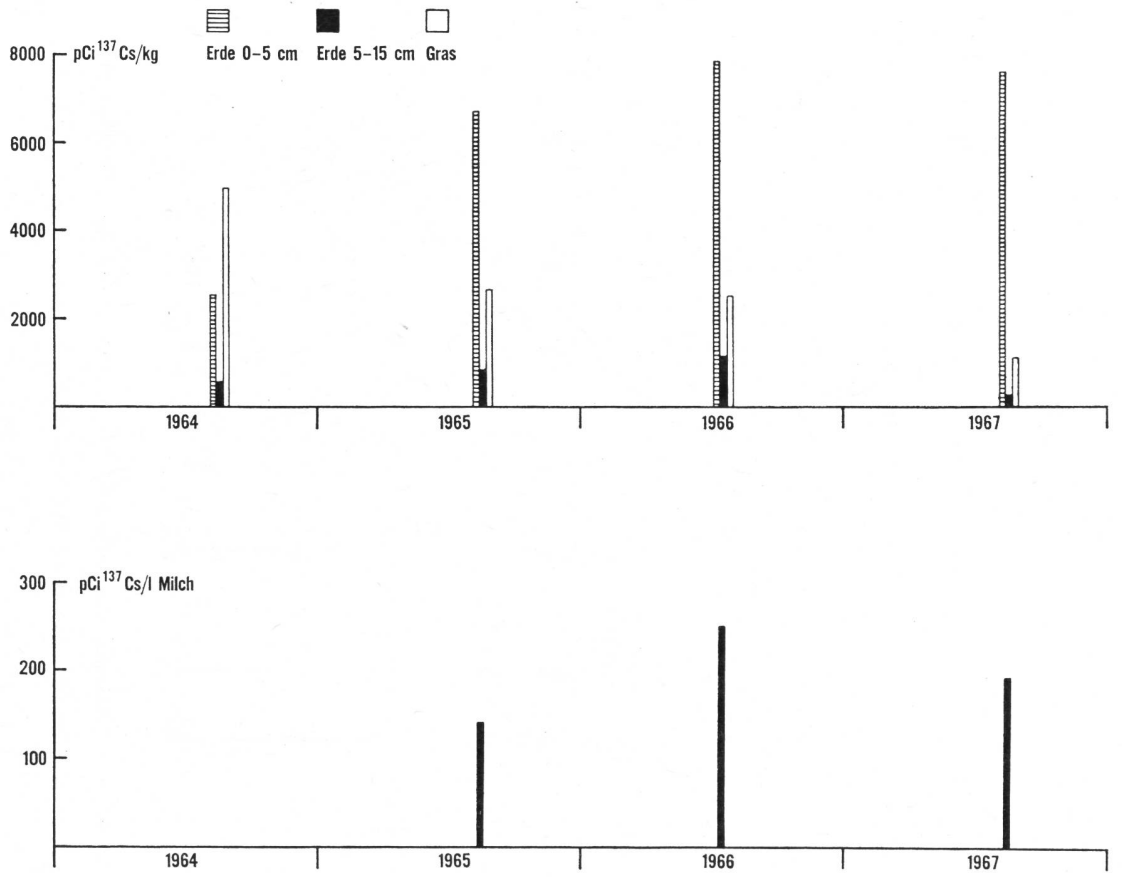


Fig. 15. Cs-137-Aktivität von Erdboden, Gras und Milch, Davos-Dischmatal/GR, 1964-1967.

Fig. 15. Activité en Cs-137 du sol, de l'herbe et du lait à Davos-Dischmatal/GR, 1964-1967.

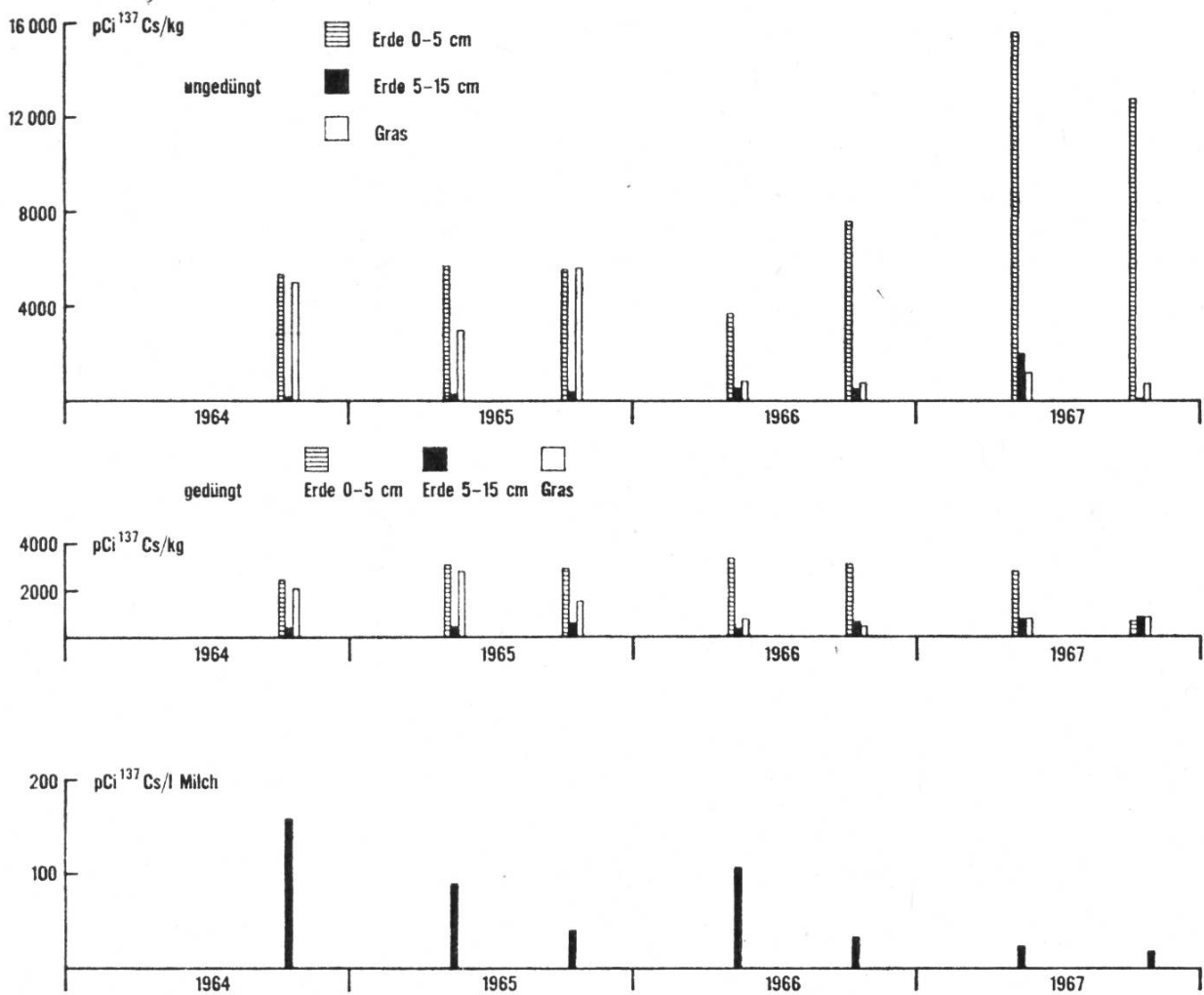


Fig. 16. Cs-137-Aktivität von Erdboden, Gras und Milch, Gudo/TI, 1964–1967.

Fig. 16. Activité en Cs-137 du sol, de l'herbe et du lait à Gudo/TI, 1964–1967.

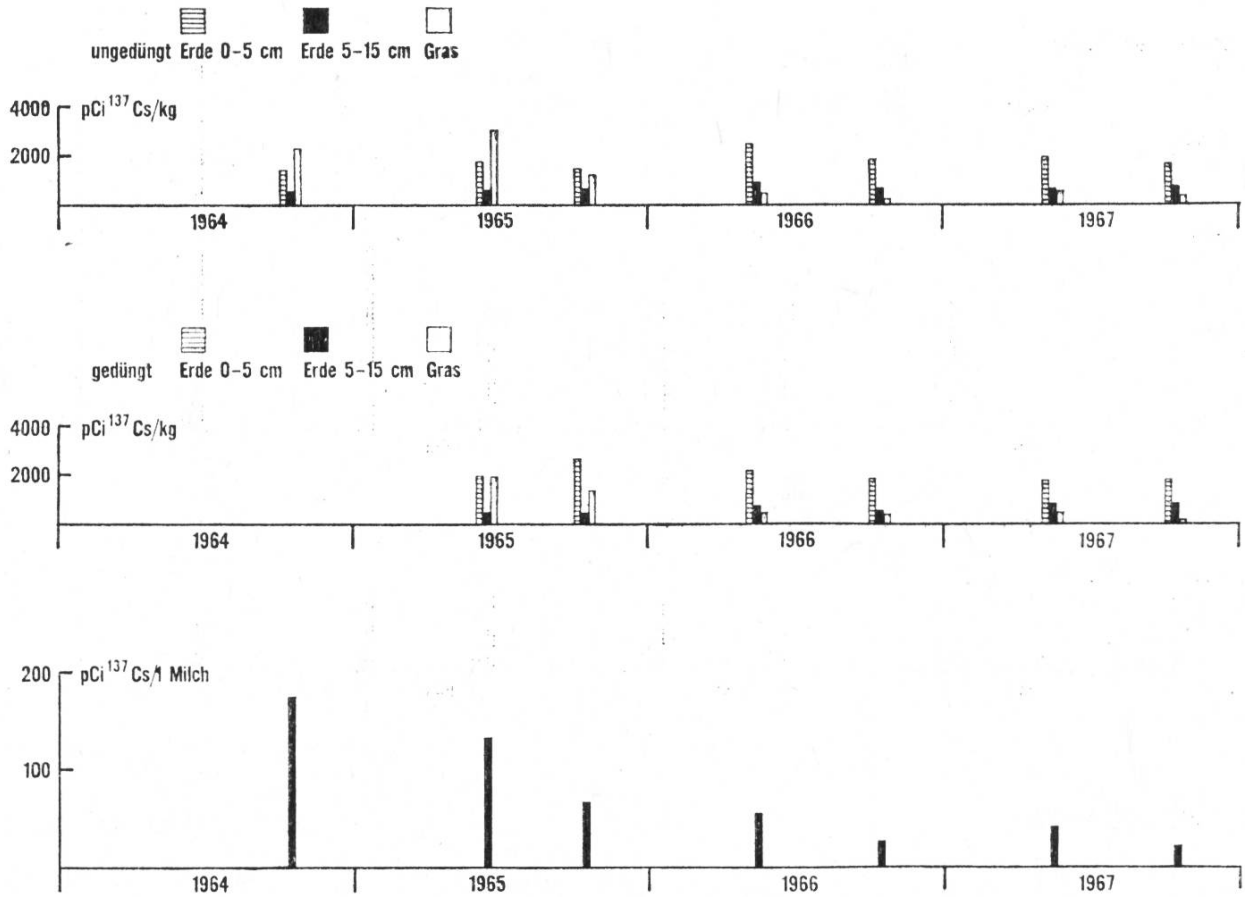


Fig. 17. Cs-137-Aktivität von Erdboden, Gras und Milch, Les Hauts-Geneveys/NE, 1964–1967.

Fig. 17. Activité en Cs-137 du sol, de l'herbe et du lait aux Hauts-Geneveys/NE, 1964–1967.

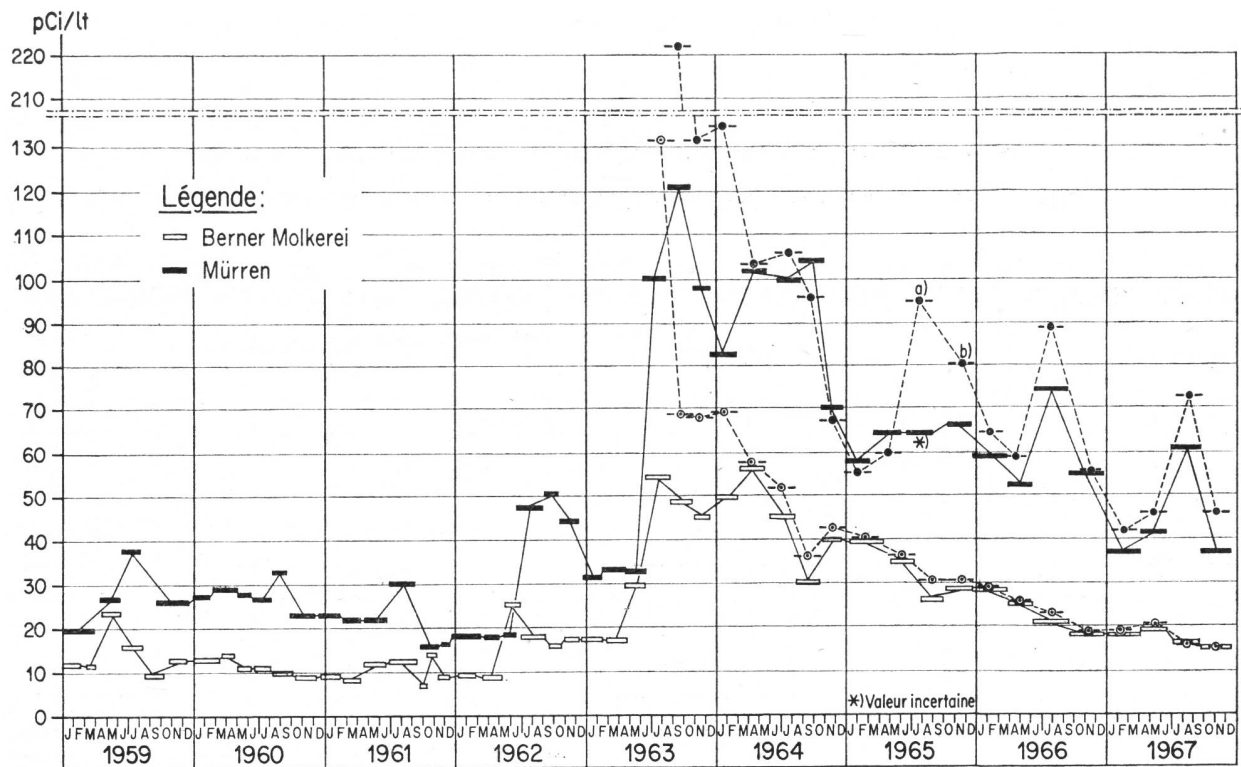


Fig. 18. Spezifische Strontium-90-Aktivität von Frischmilch aus dem Flachland (Bern 540 m) und aus einer Höhenlage (Mürren 1650 m) für die Jahre 1959–1967. Einheit: Picocurie pro Liter Milch.

Fig. 18. Activité spécifique du strontium-90 dans le lait frais de plaine (Berne 540 m) et de montagne (Mürren 1650 m) pour les années 1959–1967. Unité: picocuries par litre de lait.

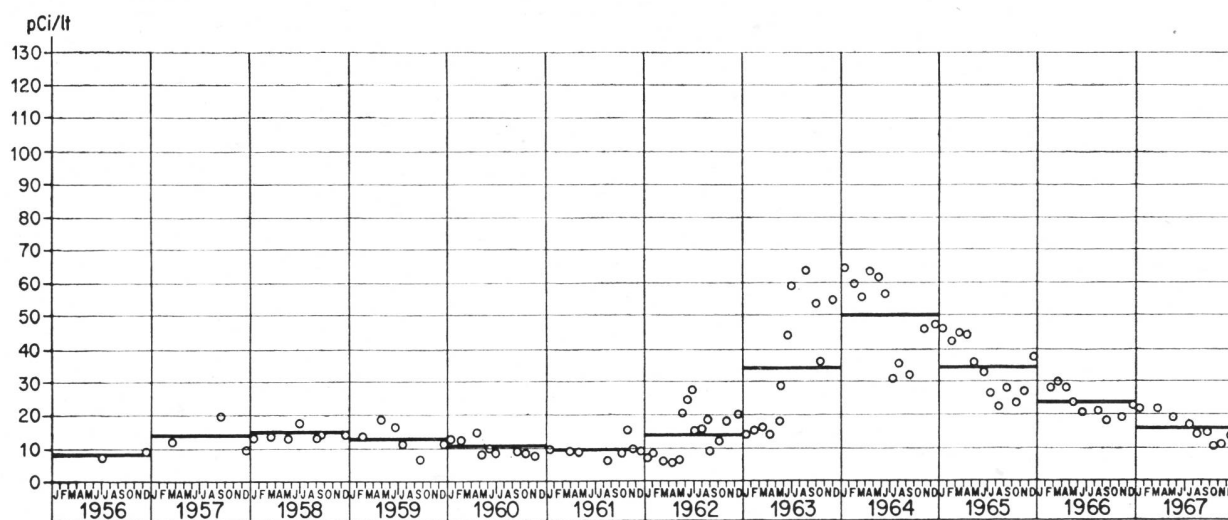


Fig. 19. Spezifische Strontium-90-Aktivität von Trockenmilch (Flachland) seit 1956 in Picocurie pro Liter Milch.

Fig. 19. Activité spécifique du strontium-90 dans le lait en poudre (plaine) depuis 1956 en picocuries par litre de lait.

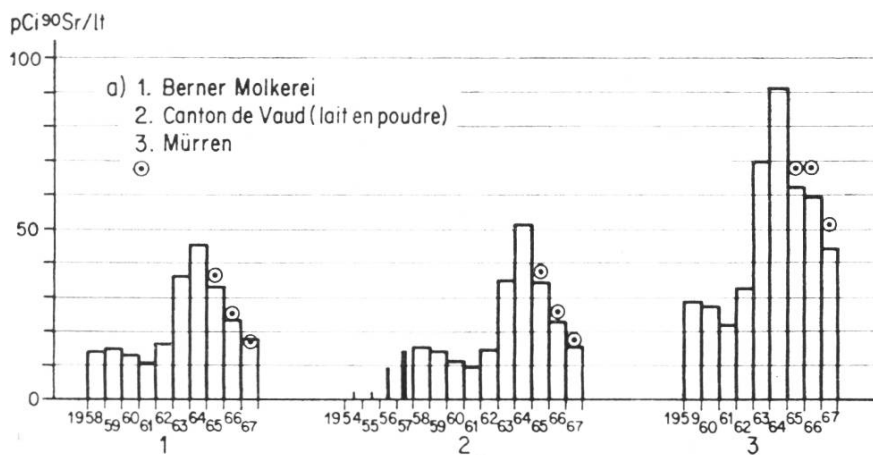


Fig. 20a. Spezifische Strontium-90-Aktivität der Milch von den drei Probestellen Berner Molkerei, Kanton Waadt und Mürren. ⊙ Strontium-90-Aktivität, berechnet aus der Oxalat-Niederschlags-Aktivität.

Fig. 20a. Activité spécifique du strontium-90 du lait des trois provenances: Laiteries bernoises, canton de Vaud, Mürren. ⊙ Activité du strontium-90, calculée à partir de l'activité des oxalates.

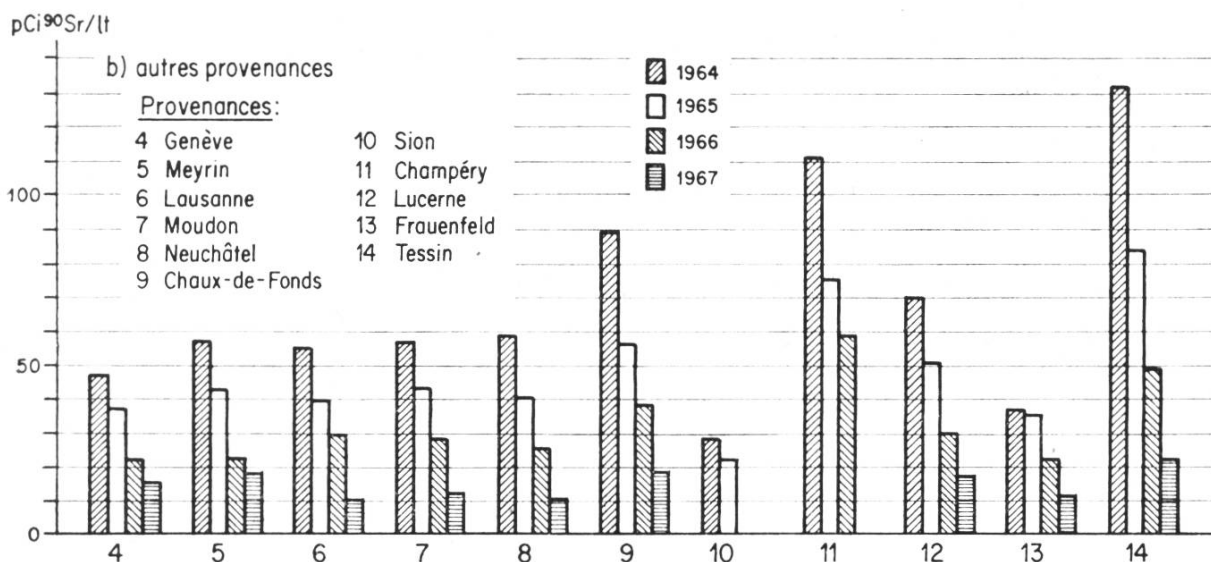


Fig. 20b. Spezifische Strontium-90-Aktivität der Milch von 11 weiteren Probestellen.

Fig. 20b. Activité spécifique du strontium-90 du lait de onze autres provenances.

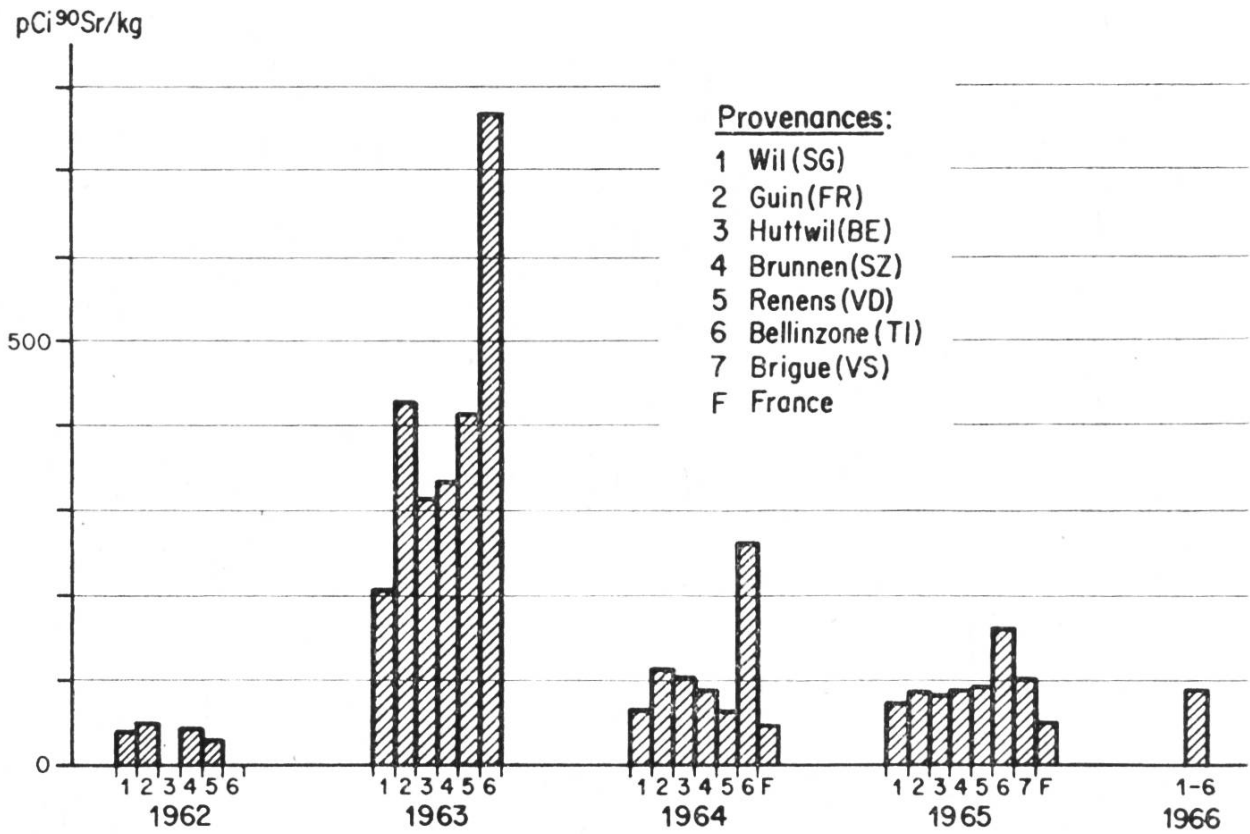


Fig. 21. Spezifische Strontium-90-Aktivität von Weizen, Ernten 1962–1966 von 7 Herkunftsstellen.

Fig. 21. Activité spécifique du strontium-90 du froment de 7 provenances pour les récoltes 1962–1966.

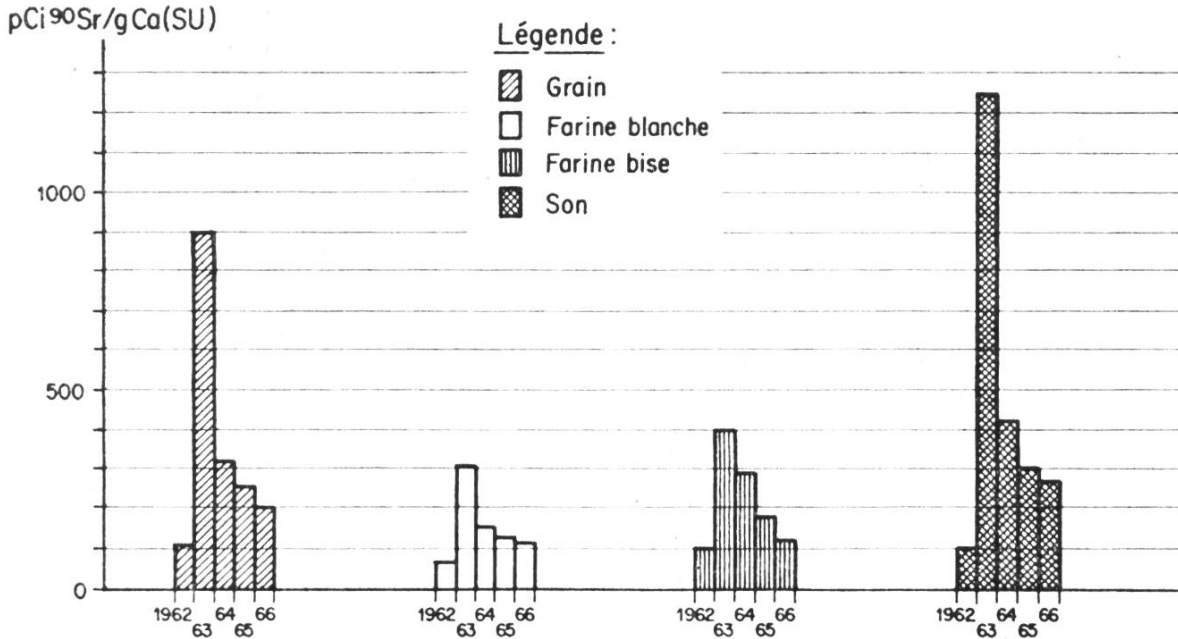


Fig. 22a. Spezifische Strontium-90-Aktivität von Weizen und Weizen-Mahlprodukten gemittelt über die Herkunftsstellen Wil, Düdingen, Huttwil, Brunnen, Renens, Bellinzona und Brig für die Jahre 1962–1966.

Fig. 22a. Activité spécifique du strontium-90 du froment et ses produits de mouture; moyennes des provenances Wil, Guin, Huttwil, Brunnen, Renens, Bellinzona et Brigue, pour les années 1962–1966.

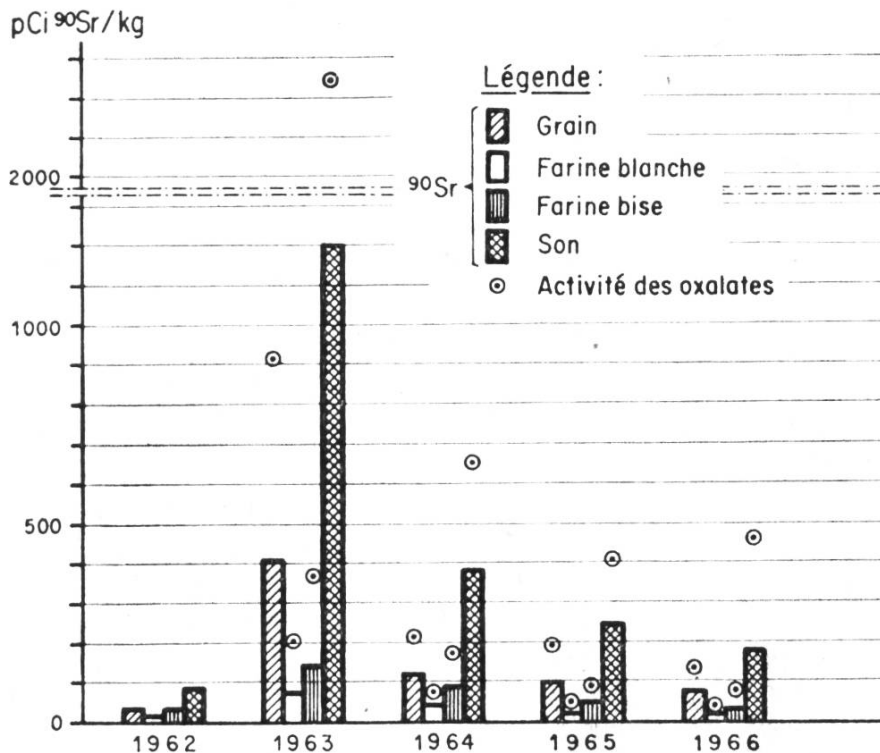


Fig. 22b. Spezifische Strontium-90-Aktivität und spezifische Oxalat-Aktivität von Weizen- und Weizenmahlprodukten; Mittelwerte aus den zu Fig. 22a genannten Herkunftsstellen für die Jahre 1962–1966.

Fig. 22b. Activité spécifique du strontium-90 et activité spécifique des oxalates du froment et ses produits de mouture; moyennes des provenances mentionnées en figure 22a, pour les années 1962–1966.

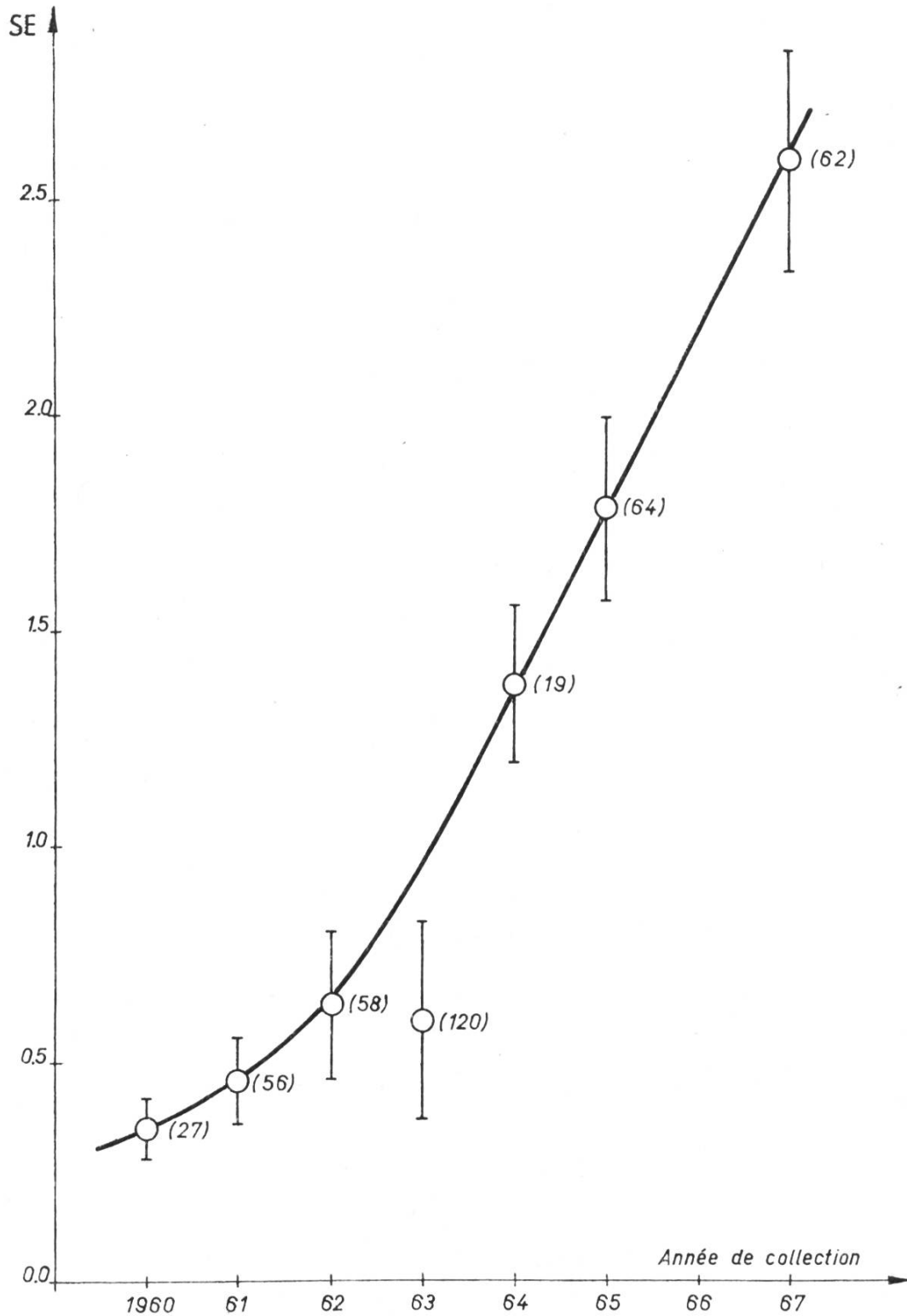


Fig. 23. Strontium-90-Analyse von Knochen Erwachsener für die Jahre 1960–1967, angegeben in Strontium-Einheiten (SE). Die Zahlen in Klammern geben die Zahl der ausgeführten Analysen an.

Fig. 23. Analyses du strontium-90 dans les os d'adultes pour les années 1960–1967, en unités de strontium (US). Entre parenthèses: nombres d'analyses effectuées.

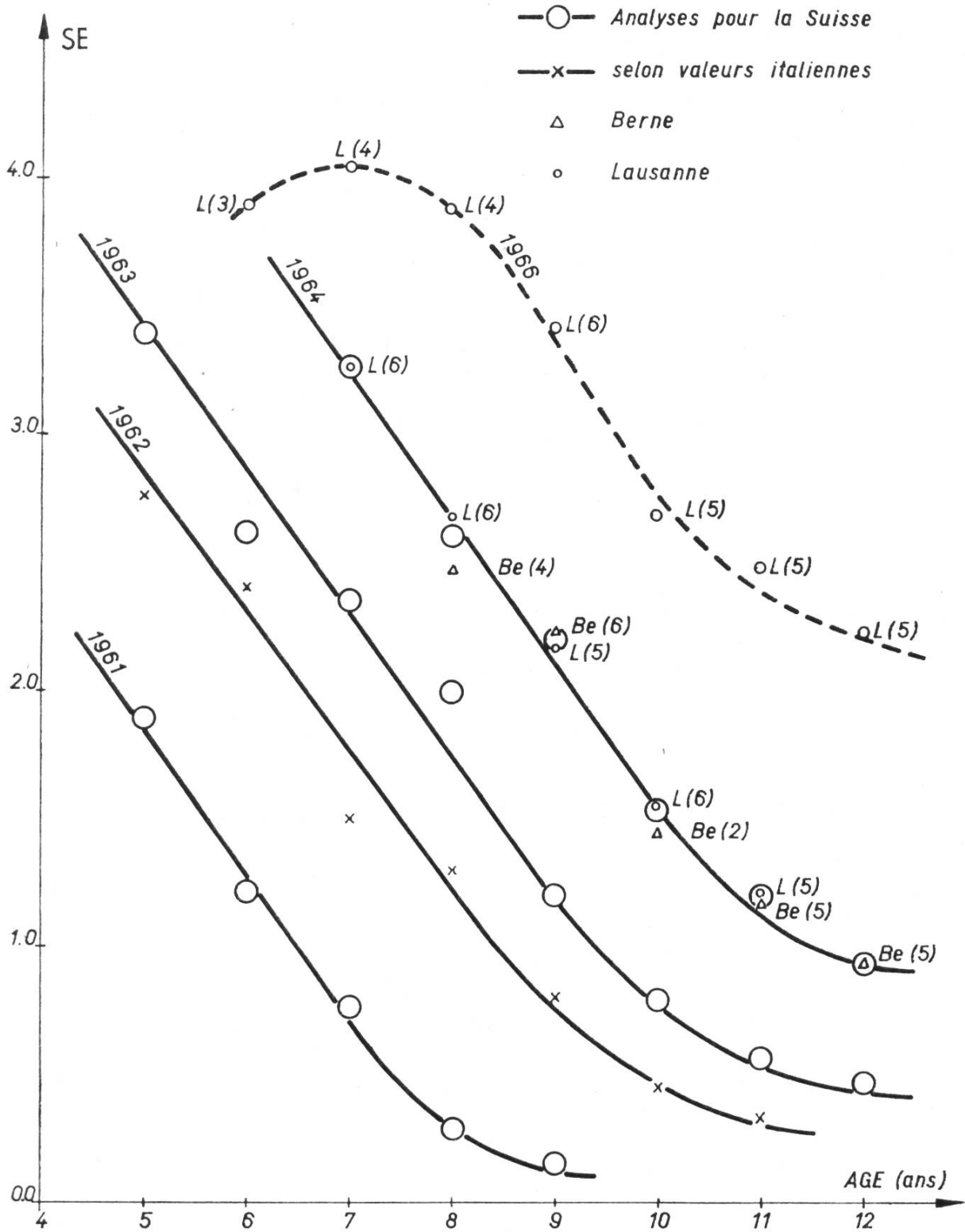


Fig. 24. Spezifische Strontium-Aktivität von Milchzähnen von Kindern verschiedenen Alters, angegeben in Strontium-Einheiten.

Fig. 24. Activité spécifique du strontium-90 des dents de lait provenant d'enfants d'âges divers. Les activités sont données en unités de strontium (US).